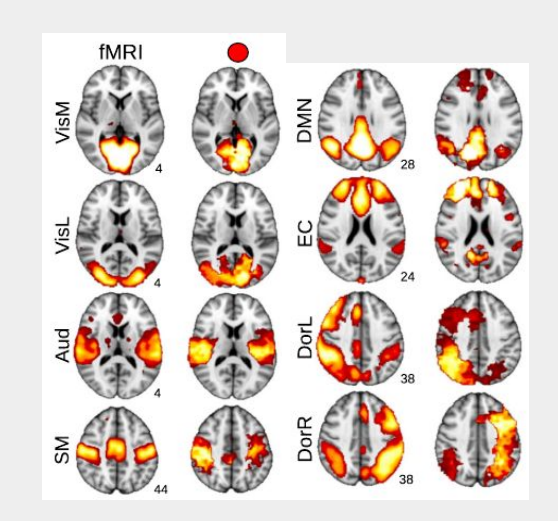
Brain Organization into Resting State Networks Emerges at Criticality on a Model of the Human Connectome



Ariel Haimovici, Enzo Tagliazucchi, Pablo Balenzuela, y Dante R. Chialvo

Contexto

• La relación entre la estructura cerebral y su actividad es un tema central de la neurociencia.

• La relación entre la estructura cerebral y su actividad es un tema central de la neurociencia.

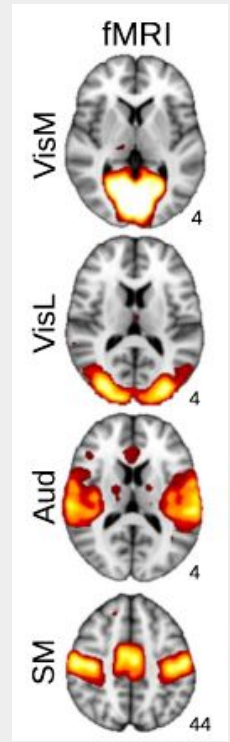
 Para entender en detalle la arquitectura de la conectividad cerebral, se debe estudiar su conectoma: matriz de conectividad de diferentes regiones del cerebro.

- La relación entre la estructura cerebral y su actividad es un tema central de la neurociencia.
- Para entender en detalle la arquitectura de la conectividad cerebral, se debe estudiar su conectoma: matriz de conectividad de diferentes regiones del cerebro.
- Las conexiones estructurales por sí solas no son suficientes para explicar el comportamiento del cerebro. Se deben expresar a través de la actividad neuronal dinámica.

- La relación entre la estructura cerebral y su actividad es un tema central de la neurociencia.
- Para entender en detalle la arquitectura de la conectividad cerebral, se debe estudiar su conectoma: matriz de conectividad de diferentes regiones del cerebro.
- Las conexiones estructurales por sí solas no son suficientes para explicar el comportamiento del cerebro. Se deben expresar a través de la actividad neuronal dinámica.
- Aspectos muy importantes de la dinámica cerebral pueden predecirse a partir del conectoma, siempre que la dinámica subyacente sea crítica.

 Experimentos con fMRI (functional magnetic resonance imaging) han revelado que la actividad del cerebro en reposo se organiza espontáneamente en unos pocos patrones espacio-temporales, denominados resting state networks (RSN). Experimentos con fMRI (functional magnetic resonance imaging) han revelado que la actividad del cerebro en reposo se organiza espontáneamente en unos pocos patrones espacio-temporales, denominados resting state networks (RSN).

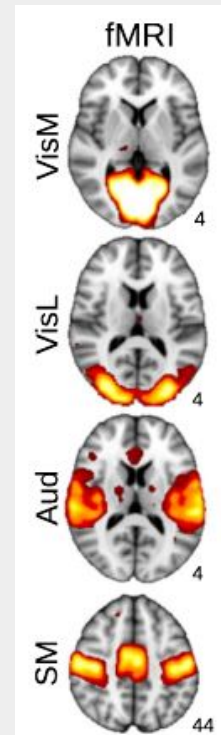
 Las RSN están asociadas a sistemas neuronales responsables de funciones sensoriales, cognitivas y comportamentales.



 Experimentos con fMRI (functional magnetic resonance imaging) han revelado que la actividad del cerebro en reposo se organiza espontáneamente en unos pocos patrones espacio-temporales, denominados resting state networks (RSN).

 Las RSN están asociadas a sistemas neuronales responsables de funciones sensoriales, cognitivas y comportamentales.

 Los patrones de correlaciones en estas redes podrían verse alterados ante diferentes condiciones cognitivas y fisiopatológicas.

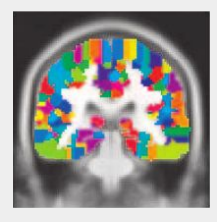


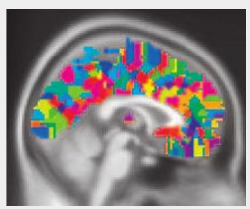
Modelo



Red de nodos conectados: Conectoma de Hagmann¹

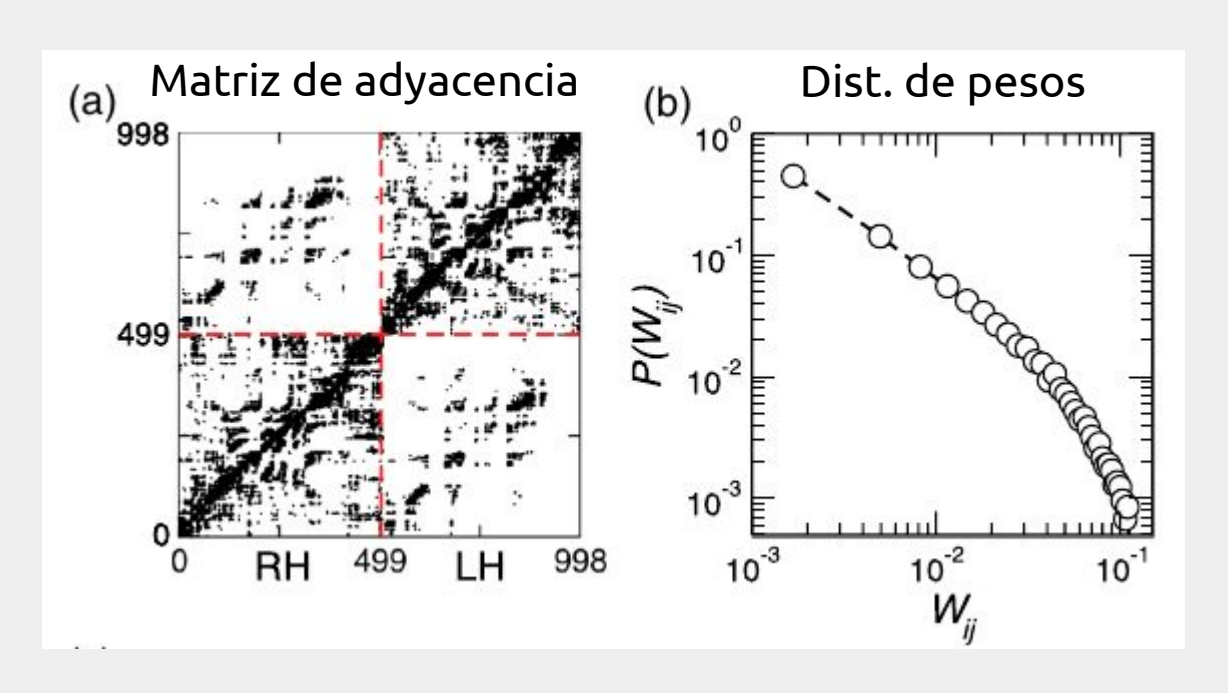
Densidad de fibras promedio entre dos regiones (materia gris - parcelación en N = 998 regiones).



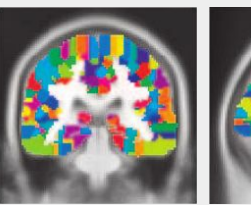




Red de nodos conectados: Conectoma de Hagmann¹



Densidad de fibras promedio entre dos regiones (materia gris - parcelación en N = 998 regiones).







[1] PLoS Biol. 6, e159 (2008).

Dinámica: Modelo de Greenberg-Hastings²

Cada nodo (región) puede estar en alguno de 3 estados posibles: quiescente (Q), excitado (E) o refractario (R).

Dinámica: Modelo de Greenberg-Hastings²

Cada nodo (región) puede estar en alguno de 3 estados posibles: quiescente (Q), excitado (E) o refractario (R).

Reglas de evolución (nodo i - tiempo discreto):

- 1) Q \longrightarrow E con probabilidad Γ_1 (estímulo externo) o si $\sum_j W_{ij} > T$, j: vecino de i en estado E
- 2) $E \longrightarrow R$ siempre
- 3) R \longrightarrow Q con probabilidad r_2

Dinámica: Modelo de Greenberg-Hastings²

Cada nodo (región) puede estar en alguno de 3 estados posibles: quiescente (Q), excitado (E) o refractario (R).

Reglas de evolución (nodo i - tiempo discreto):

- 1) Q \longrightarrow E con probabilidad Γ_1 (estímulo externo) o si $\sum_j W_{ij} > T$, j: vecino de i en estado E
 - 2) $E \longrightarrow R$ siempre
 - 3) R \longrightarrow Q con probabilidad r_2

 r_1 y r_2 fijos, se varía T.

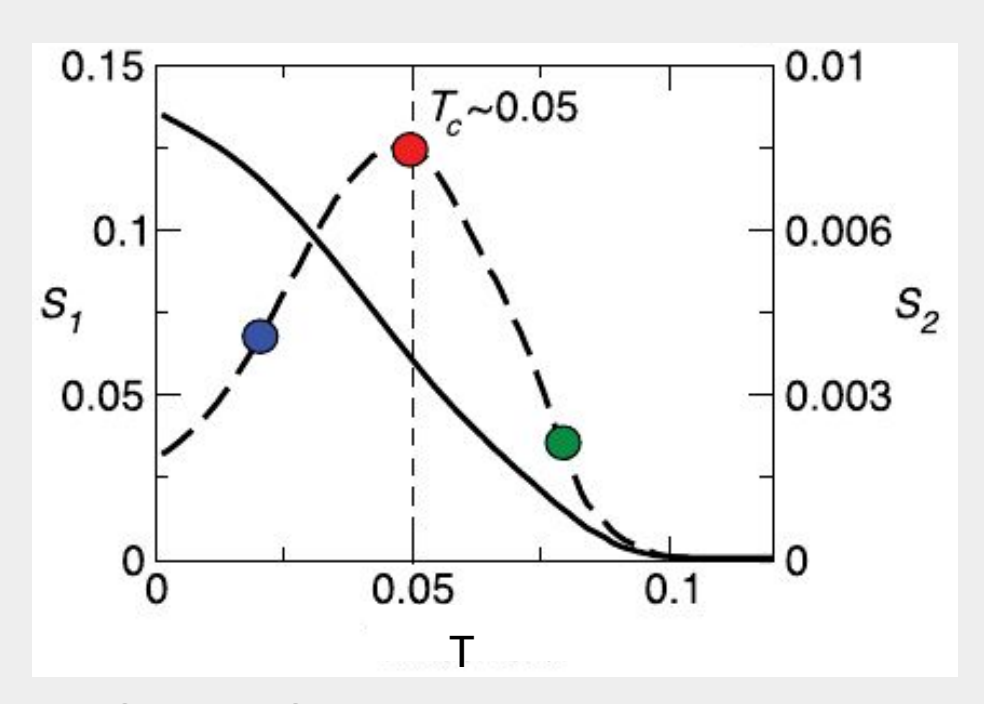
[2] SIAM J. Appl. Math. 34, 515 (1978).

Conectoma de Hagmann + Modelo de Greenberg-Hastings

Cluster: Conjunto de nodos activos conectados a primeros vecinos (distancia < 2.5 cm).

S₁: Tamaño del cluster más grande.

Conectoma de Hagmann + Modelo de Greenberg-Hastings



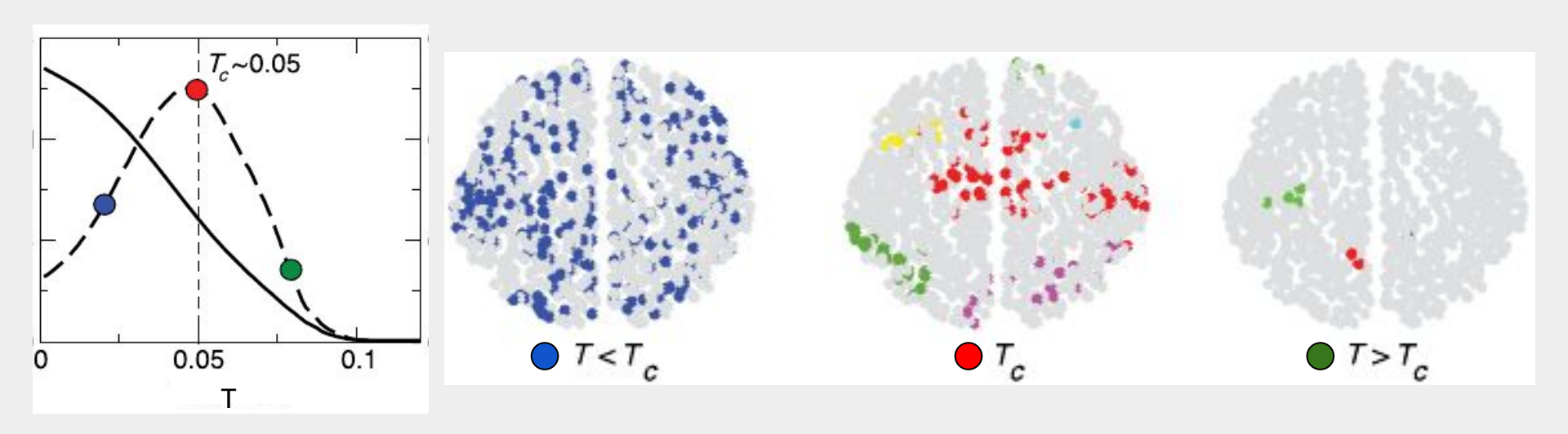
Cluster: Conjunto de nodos activos conectados a primeros vecinos (distancia < 2.5 cm).

S₄: Tamaño del cluster más grande.

S₁ presenta una transición alrededor de un valor crítico de T. Puede extraerse analizando el 2do cluster más grande (S₂) que presenta un máximo alrededor de T₂.

$$- S_1 - S_2$$

Conectoma de Hagmann + Modelo de Greenberg-Hastings



Resultados

 A partir de este modelo, se buscó comparar con dos resultados experimentales robustos sobre las RSN, característicos de fenómenos críticos: A partir de este modelo, se buscó comparar con dos resultados experimentales robustos sobre las RSN, característicos de fenómenos críticos:

 La longitud de correlación de la actividad cerebral crece con el tamaño del sistema,

- A partir de este modelo, se buscó comparar con dos resultados experimentales robustos sobre las RSN, característicos de fenómenos críticos:
 - La longitud de correlación de la actividad cerebral crece con el tamaño del sistema,
 - La varianza de las correlaciones de corto plazo entre pares de regiones se mantiene alta, independientemente del número de regiones consideradas.

- A partir de este modelo, se buscó comparar con dos resultados experimentales robustos sobre las RSN, característicos de fenómenos críticos:
 - 1) La longitud de correlación de la actividad cerebral crece con el tamaño del sistema,
 - La varianza de las correlaciones de corto plazo entre pares de regiones se mantiene alta, independientemente del número de regiones consideradas.

Para ello se utilizó una máscara espacial de las RSN^{3,4} y las coordenadas provistas por Hagmann¹, asignando a cada nodo pertenencia a la RSN más cercana.

[3] Phil. Trans. R. Soc. B 360, 1001 (2005). [4] Front. Physiol. 3, 307 (2012).

1) Longitud de correlación ξ

Distancia promedio a la que 2 nodos del sistema comienzan a comportarse de manera independiente (cerca de la criticalidad y en el límite termodinámico, diverge como $|T-T_c|^{-\nu}$).

1) Longitud de correlación 💺

Distancia promedio a la que 2 nodos del sistema comienzan a comportarse de manera independiente (cerca de la criticalidad y en el límite termodinámico, diverge como $|T-T_c|^{-\nu}$).

Para obtener ξ , se calcula la función de correlación y se busca su cruce con 0.

Función de correlación para cluster H de tamaño N_H:

$$\langle C_H(r) \rangle = \langle \frac{\langle (\tilde{B}_{x_i} - \bar{\tilde{B}}_{x_i})(\tilde{B}_{x_j} - \bar{\tilde{B}}_{x_j}) \rangle_t}{\sigma_{\tilde{B}_{x_i}} \sigma_{\tilde{B}_{x_j}}} \rangle_{i,j}$$

1) Longitud de correlación 💺

Distancia promedio a la que 2 nodos del sistema comienzan a comportarse de manera independiente (cerca de la criticalidad y en el límite termodinámico, diverge como $|T-T_c|^{-\nu}$).

Para obtener ξ , se calcula la función de correlación y se busca su cruce con 0.

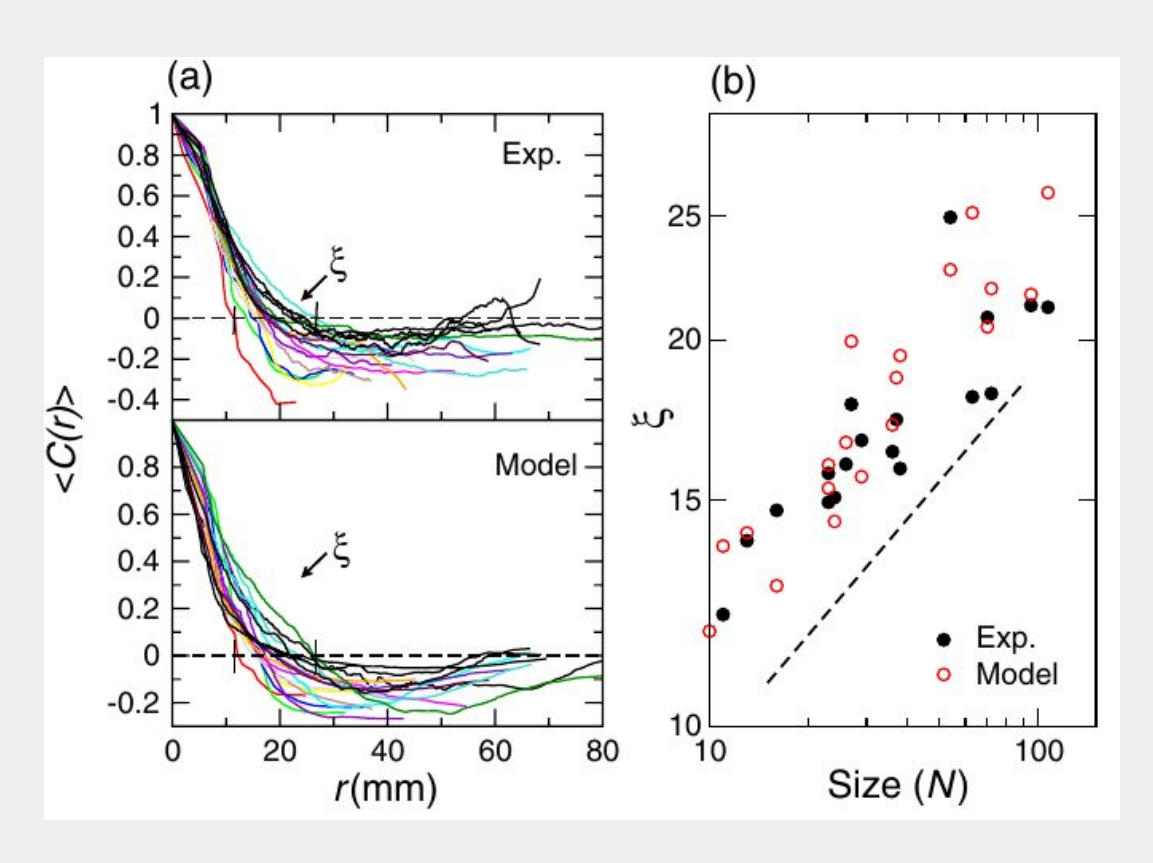
Función de correlación para cluster H de tamaño N_H:

$$< C_H(r) > = \langle \frac{< (\tilde{B}_{x_i} - \bar{\tilde{B}}_{x_i})(\tilde{B}_{x_j} - \bar{\tilde{B}}_{x_j}) >_t}{\sigma_{\tilde{B}_{x_i}} \sigma_{\tilde{B}_{x_j}}} \rangle_{i,j}$$

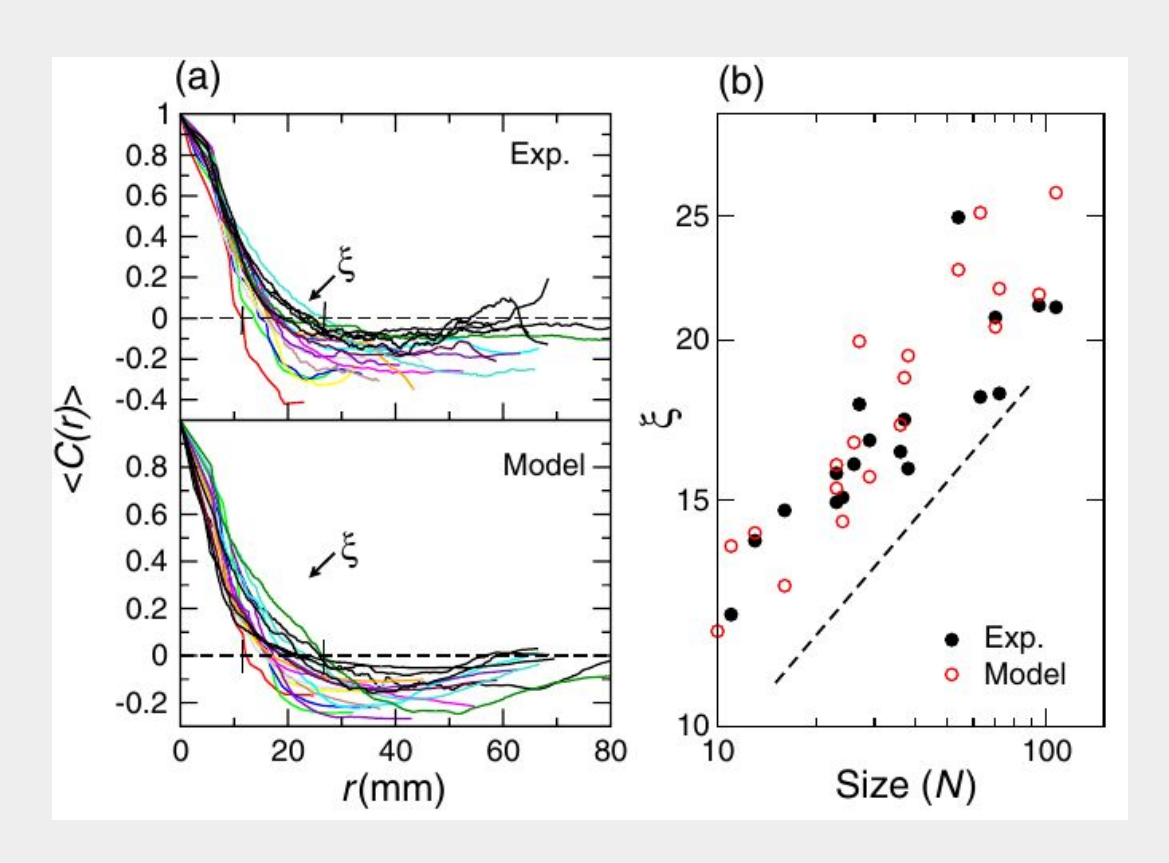
- σ: Desviación estándar
- <>,: Promedio temporal
- <>_{i.i}: Promedio sobre pares de nodos a distancia r

- B_{xi}: Señal del nodo i con posición x_i
- B_{xi}: Señal sin actividad media del cluster
- $\overline{\overline{B}}_{Xi}$: Promedio temporal de $\overline{\overline{B}}_{Xi}$

1) Longitud de correlación §



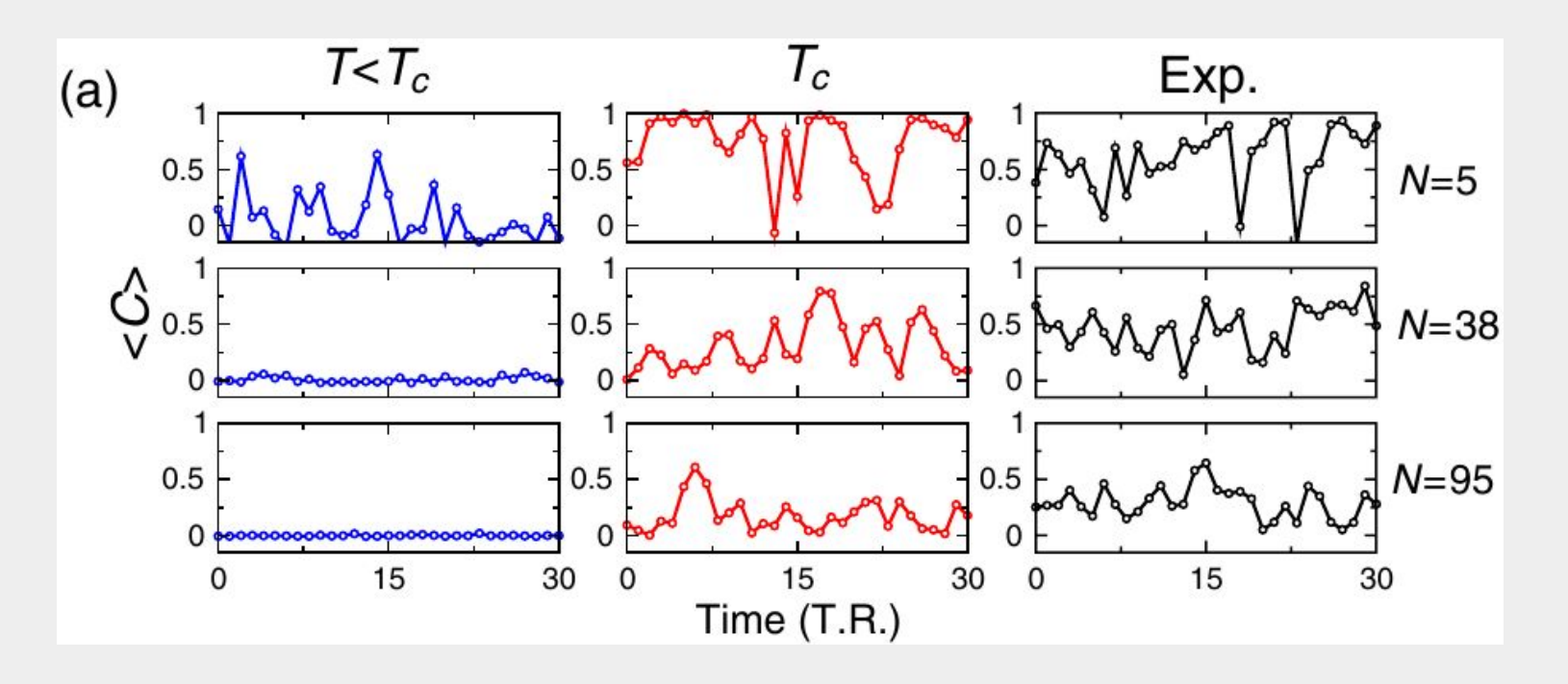
1) Longitud de correlación §

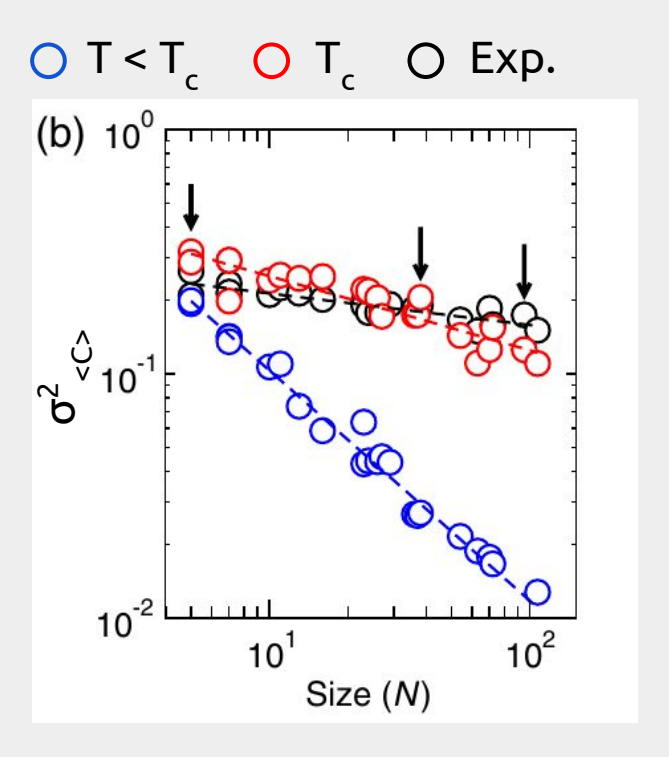


El comportamiento de ξ observado en los experimentos es reproducido por el modelo en T_c .

<C>: Correlación media de corto plazo. Se calcula entre todos los pares de nodos de un cluster y en ventanas temporales no solapadas de 10 pasos.

<C>: Correlación media de corto plazo. Se calcula entre todos los pares de nodos de un cluster y en ventanas temporales no solapadas de 10 pasos.

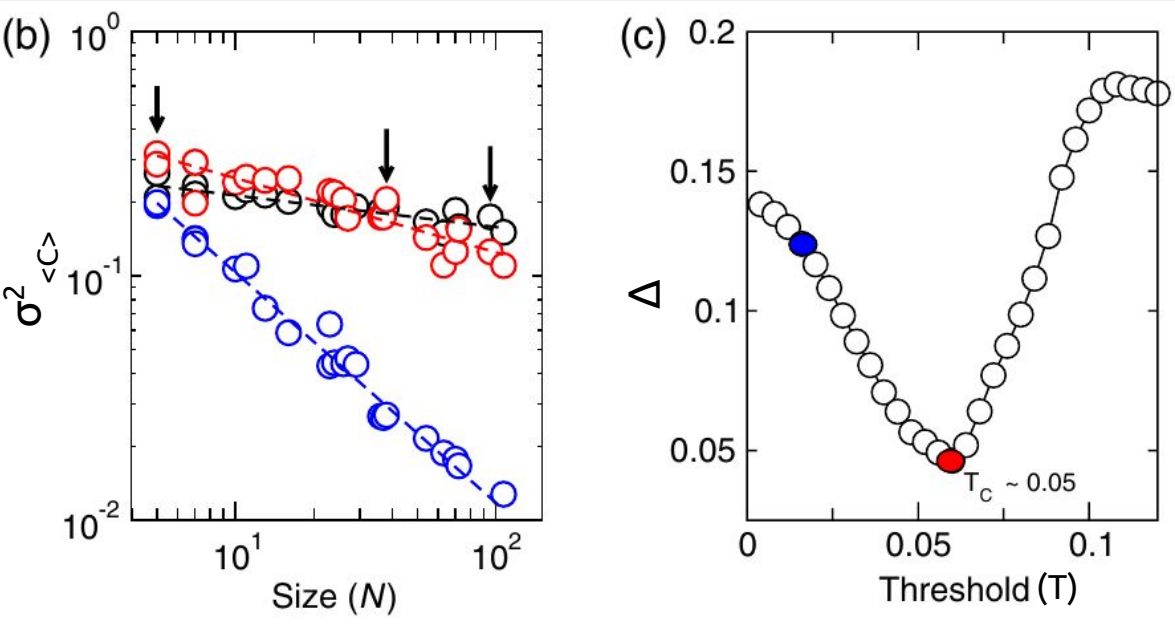




 σ^2 : Varianza de la correlación <C>

Las fluctuaciones de la correlación persisten con N de manera similar a lo que ocurre en los experimentos.



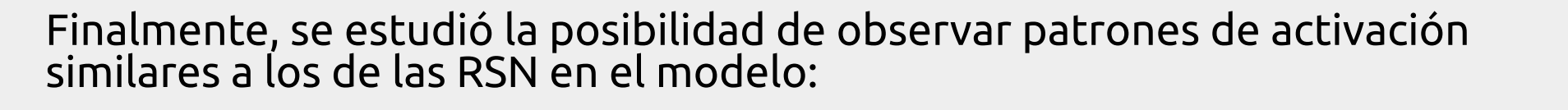


Las fluctuaciones de la correlación persisten con N de manera similar a lo que ocurre en los experimentos.

La distancia o error cuadrático medio entre modelo y experimentos

$$\Delta = \sqrt{\sum_{N_c} (\sigma^{(e)}_{< C>} - \sigma^{(m)}_{< C>})^2/N_c}$$
es mínima para T $_c$.

 σ^2 : Varianza de la correlación <C>



 La señal de cada región o nodo (N = 998), más ruido gaussiano, se asigna a cada voxel* en su interior.

^{*}Voxel: pixel en 3D. Resolución dada por fMRI.

- La señal de cada región o nodo (N = 998), más ruido gaussiano, se asigna a cada voxel* en su interior.
- Se aplica ICA (independent component analysis) para detectar 8 componentes independientes (sobre resultados exp. y del modelo).

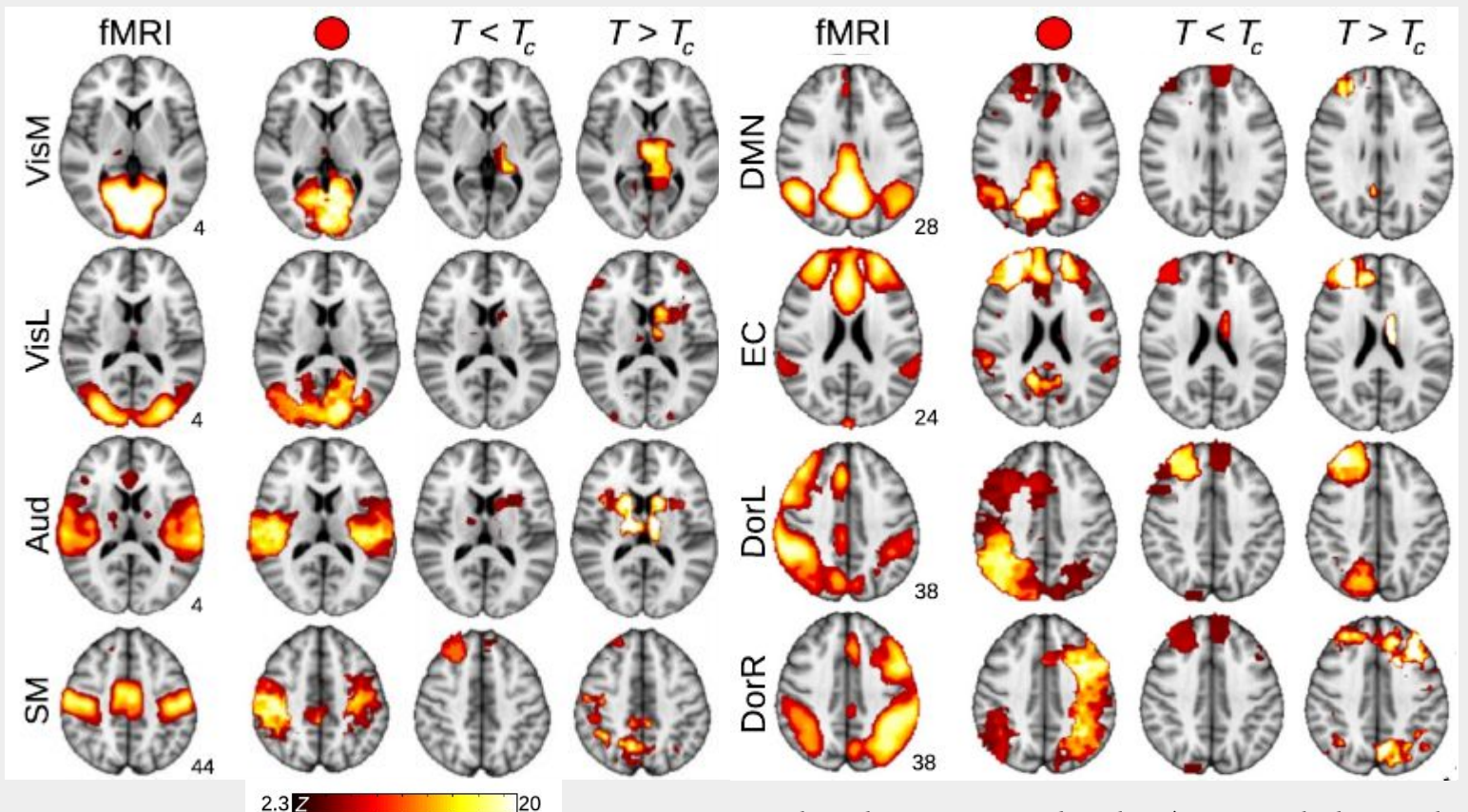
*Voxel: pixel en 3D. Resolución dada por fMRI.

- La señal de cada región o nodo (N = 998), más ruido gaussiano, se asigna a cada voxel* en su interior.
- Se aplica ICA (independent component analysis) para detectar 8 componentes independientes (sobre resultados exp. y del modelo).
- Se calcula la correlación espacial máxima para cada componente detectada del modelo con las RSN (resultados exp.).

*Voxel: pixel en 3D. Resolución dada por fMRI.

- La señal de cada región o nodo (N = 998), más ruido gaussiano, se asigna a cada voxel* en su interior.
- Se aplica ICA (independent component analysis) para detectar 8 componentes independientes (sobre resultados exp. y del modelo).
- Se calcula la correlación espacial máxima para cada componente detectada del modelo con las RSN (resultados exp.).
- Promedio sobre 100 simulaciones para cada valor de T.

^{*}Voxel: pixel en 3D. Resolución dada por fMRI.



Z: Confianza estadística de que un voxel esté incluido en la componente indicada

En todos los casos, la dinámica del modelo en T_c es la que mejor replica los resultados experimentales.

Comentarios finales

 Primera demostración de que un modelo híbrido (conectividad anatómica realista + regla dinámica simple) permite capturar aspectos espacio-temporales relevantes de la dinámica cerebral, siempre que la dinámica sea crítica.

- Primera demostración de que un modelo híbrido (conectividad anatómica realista + regla dinámica simple) permite capturar aspectos espacio-temporales relevantes de la dinámica cerebral, siempre que la dinámica sea crítica.
- Esto incluye características genéricas de sistemas críticos (divergencia de la longitud de correlación y persistencia de la varianza en las fluctuaciones de la correlación con el tamaño del sistema) y la emergencia de estructuras con un significado neuro-biológico bien establecido, como las RSN.

- Primera demostración de que un modelo híbrido (conectividad anatómica realista + regla dinámica simple) permite capturar aspectos espacio-temporales relevantes de la dinámica cerebral, siempre que la dinámica sea crítica.
- Esto incluye características genéricas de sistemas críticos (divergencia de la longitud de correlación y persistencia de la varianza en las fluctuaciones de la correlación con el tamaño del sistema) y la emergencia de estructuras con un significado neuro-biológico bien establecido, como las RSN.
- En trabajos previos se había discutido la evidencia experimental que daba indicios de criticalidad en sistemas cerebrales. Aquí, el régimen crítico aparece como condición necesaria para que el modelo reproduzca aspectos neuro-biológicamente relevantes de la dinámica cerebral.